

MIMO系统检测算法分析

电子一班 刘佳豪 18309050

2020 年 1 月 17 日

目录

- ① MMSE算法介绍
- ② 仿真结果
- ③ 总结

MMSE(最小均方误差)准则是使发送信号 \mathbf{s} 与经过滤波后得到的估计信号 $\hat{\mathbf{s}}$ 尽可能的接近。也就是说,对于接收信号 $\mathbf{x} = \mathbf{H}\mathbf{s} + \mathbf{n}$,我们希望找到一个滤波矩阵 \mathbf{G} ,使得 $\|\mathbf{G}\mathbf{x} - \mathbf{s}\|^2$ 最小,即

$$\mathbf{G} = \underset{\mathbf{G}}{\operatorname{argmin}} \|\mathbf{G}\mathbf{x} - \mathbf{s}\|^2 \quad (1)$$

利用矩阵微积分的知识,我们可以得到(3)式的最优解为

$$\mathbf{G} = (\mathbf{H}^H \mathbf{H} + \sigma_n^2 \mathbf{I}_{n_T})^{-1} \mathbf{H}^H \quad (2)$$

对上式进行数学变形,令:

$$\underline{\mathbf{H}} = \begin{bmatrix} \mathbf{H} \\ \sigma_n \mathbf{I}_{n_T} \end{bmatrix} \quad \text{和} \quad \underline{\mathbf{x}} = \begin{bmatrix} \mathbf{x} \\ \mathbf{0}_{n_T,1} \end{bmatrix} \quad \text{则} \quad \underline{\mathbf{y}} = \underline{\mathbf{G}}\underline{\mathbf{x}} = (\underline{\mathbf{H}}^H \underline{\mathbf{H}})^{-1} \underline{\mathbf{H}}^H \underline{\mathbf{x}} \quad (3)$$

然后利用QPSK解调星座图对 $\hat{\mathbf{s}}$ 进行判决,即可得到解调信号。

MMSE算法介绍

基于QR分解的MMSE检测

在基于QR分解的ZF算法中，第k个发送信号的信噪比满足

$$SNR_k \sim |r_{k,k}|^2 \quad (4)$$

根据此信息和干扰消除的原则，我们得到了排序的ZF-SQRD算法：逐步检出具有最大信噪比的信号。根据表达式

$$\tilde{y}_i = r_{ii}s_i + \sum_{j=i+1}^{n_T} r_{ij}s_j + \tilde{\eta}_i \quad (5)$$

MMSE算法介绍

基于QR分解的MMSE检测

$$\tilde{y}_i = r_{ii}s_i + \sum_{j=i+1}^{n_T} r_{ij}s_j + \tilde{\eta}_i \quad (6)$$

可知，第*i*层的信号中只有来自*i* + 1, ... *n_T*层的干扰，而由于这些层已经被判决出来，所以很容易被消除。由于对信道矩阵***H***进行扩充得到***H***后MMSE的滤波矩阵形式上与ZF滤波矩阵一致，因此MMSE检测也有类似的QR分解。

MMSE算法介绍

基于QR分解的MMSE检测

Tab. 1 MMSE-SQRD ALGORITHM

-
- (1) $\underline{\mathbf{R}} = \mathbf{0}, \underline{\mathbf{Q}} = \underline{\mathbf{H}}, \mathbf{p} = (1, \dots, n_T)$
 - (2) for $i = 1, \dots, n_T$
 - (3) $\mathbf{norm}_i = \|\underline{\mathbf{q}}_i\|^2$
 - (4) end
 - (5) for $i = 1, \dots, n_T$
 - (6) $k_i = \arg \min_{\ell=1, \dots, n_T} \mathbf{norm}_\ell$
 - (7) exchange columns i and k_i in $\underline{\mathbf{R}}, \mathbf{p}, \mathbf{norm}$ and in the first $n_R + i - 1$ rows of $\underline{\mathbf{Q}}$
 - (8) $r_{i,i} = \sqrt{\mathbf{norm}_i}$
 - (9) $\underline{\mathbf{q}}_i := \underline{\mathbf{q}}_i / r_{i,i}$
 - (10) for $k = i + 1, \dots, n_T$
 - (11) $r_{i,k} = \underline{\mathbf{q}}_i^H \cdot \underline{\mathbf{q}}_k$
 - (12) $\underline{\mathbf{q}}_k := \underline{\mathbf{q}}_k - r_{i,k} \cdot \underline{\mathbf{q}}_i$
 - (13) $\mathbf{norm}_k := \mathbf{norm}_k - r_{i,k}^2$
 - (14) end
 - (15) end
-

MMSE算法介绍

基于QR分解的MMSE检测

注意到虽然框图里第(6)步每次都是选择了使 $r_{i,i}$ 最小的信号，但是由于第(13)步里面还要在进行值的变化，因此，SQRD算法并不能完全保证 $\phi_1 > \phi_2 > \dots > \phi_{n_T}$ 。比如对于第 i 层和第 $i+1$ 层，算法无法保证

$$\sum_{j=i+1}^{n_T} r_{i,j}^2 > \sum_{j=i+2}^{n_T} r_{i+1,j}^2$$

这样，尽管第(6)步保证了 $r_{i,i} < r_{i+1,i+1}$ ，但是当

$$\sum_{j=i+1}^{n_T} r_{i,j}^2 < \sum_{j=i+2}^{n_T} r_{i+1,j}^2$$

时，经过第13步后得到的最终的 $r_{i,i}$ 与 $r_{i+1,i+1}$ 有可能是 $r_{i,i} > r_{i+1,i+1}$ 的关系。为了确保MMSE-SQRD的最优性能，我们可以在此基础上添加新的检测方法。

MMSE算法介绍

PSA算法的MMSE检测

Tab. 2 POST-SORTING ALGORITHM

```
(1)   $k_{\min} = n_T$ 
(2)  for  $i = n_T, \dots, 2$ 
(3)    for  $\ell = 1, \dots, i$ 
(4)       $\mathbf{error}_\ell = \|\mathbf{Q}_2(\ell, 1:i)\|^2$ 
(5)    end
(6)     $k_i = \arg \min_{\ell=1, \dots, i} \mathbf{error}_\ell$ 
(7)     $k_{\min} = \min(k_{\min}, k_i)$ 
(8)    if  $k_i < i$ 
(9)      exchange rows  $i$  and  $k_i$  in  $\mathbf{Q}_2$  and col.  $i$  and  $k_i$  in  $\mathbf{p}$ 
(10)   end
(11)   if  $k_{\min} < i$ 
(12)     calculate Householder reflector  $\Theta$  such that elements
        of  $\mathbf{Q}_2(i, k_{\min} : i-1)$  become zero
(13)      $\mathbf{Q}_2(1:i, k_{\min} : i) := \mathbf{Q}_2(1:i, k_{\min} : i)\Theta$ 
(14)      $\mathbf{Q}_1(:, k_{\min} : i) := \mathbf{Q}_1(:, k_{\min} : i)\Theta$ 
(15)   end
(16) end
(17)  $\underline{\mathbf{R}} = 1/\sigma_n \mathbf{Q}_2^{-1}$ 
```

仿真结果

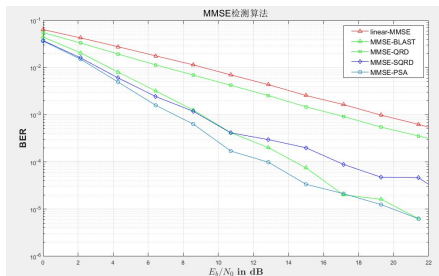


图: MMSE检测算
法: $n_R = n_T = 4$, QPSK

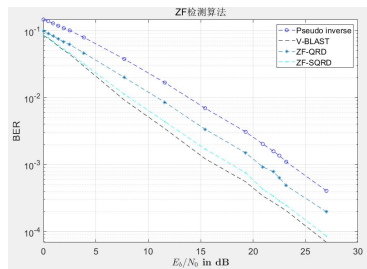
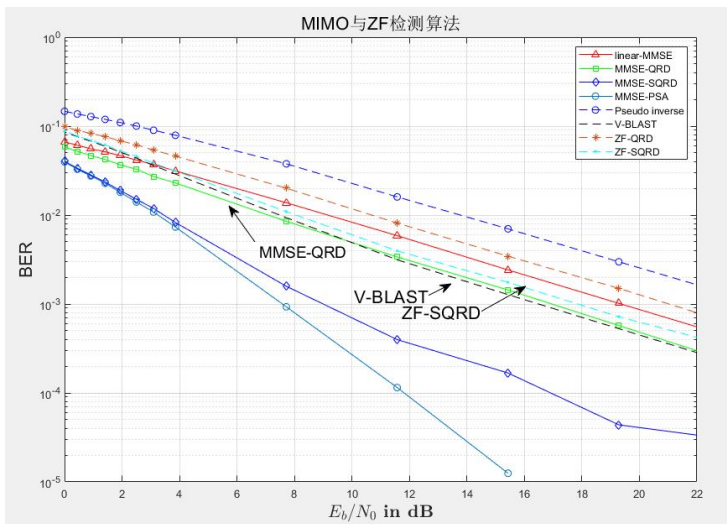


图: ZF检测算
法: $n_R = n_T = 4$, QPSK

仿真结果



总结

- 1 对于ML似然估计, 需要遍历整个可能的符号组合, 设符号集的大小为 q , 则复杂度为 $O(q^{n_T})$, 随着天线数量的增加, 复杂度过高而不适合计算使用。
- 2 对于ZF检测和MMSE检测, 由于前者只考虑消除信道矩阵 \mathbf{H} 的影响, 而后者综合考虑了信道矩阵 \mathbf{H} 和噪声二者的干扰, 所以MMSE检测普遍优于ZF检测。这一结论从上图也可以看出。但是二者均是根据信道矩阵 \mathbf{H} 生成滤波矩阵 \mathbf{G} , 由于这个过程之需要求解一次滤波矩阵, 因此复杂度为 $O(n_T^3)$ 。

总结

3基于SIC串行干扰消除的原则的BLAST算法由于需要求解 n_T 次滤波矩阵 \mathbf{G} ,故复杂度为 $n_T O(n_T^3) = O(n_T^4)$ 。

4基于QR分解的检测方法避开了伪逆矩阵 \mathbf{G} 的求解。一般情况下QR分解的复杂度为 $O(n_R n_T^2) = O(n_T^3)$ 。所以无排序QR分解以及排序QR分解复杂度均为 $O(n_T^3)$ 。

5在MMSE-SQRD基础之上的PSA算法,文献[2]给出了它的上界复杂度: $O(n_T^3)$ 。

这是因为计算豪斯霍尔德矩阵以及利用豪斯霍尔德矩阵对 \mathbf{Q}_2 进行操作的复杂度为 $O(n_T^2)$,而且由于等式 $\mathbf{R}^{-1} = \frac{1}{\sigma_n} \mathbf{Q}_2$,我们可以用不超过 $O(n_T^3)$ 的复杂度计算出结果。